

# Metody bioinformatyki (MBI)

## Wykład 12 - mikromacierze DNA, struktury drugorzędowe RNA

Robert Nowak

2014L

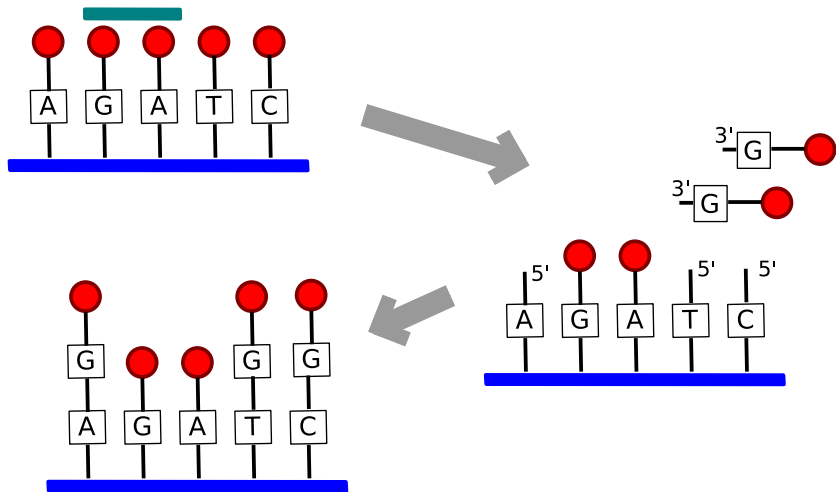
# mikromacierze DNA

Metoda badawcza, pozwalająca badać obecność wielu cząsteczek DNA lub RNA jednocześnie, utworzona do odczytywania sekwencji

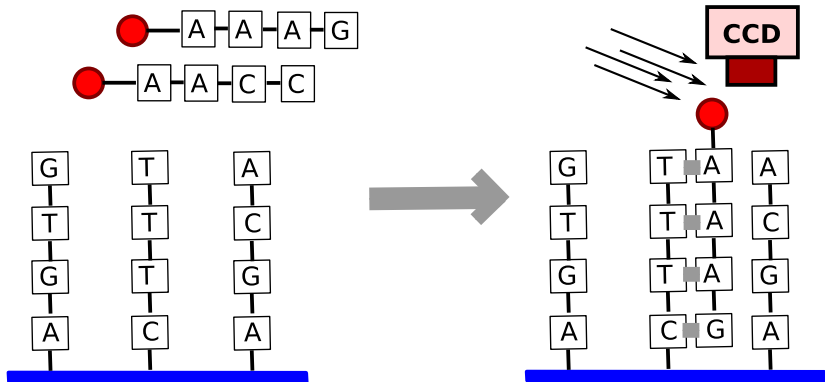
Zastosowanie mikromacierzy:

- ▶ analiza DNA, badanie wiele markerów jednocześnie
- ▶ analiza genów ulegających ekspresji, badanie cząsteczek mRNA

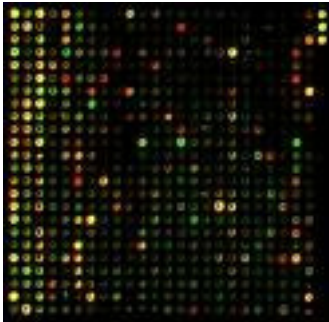
## tworzenie mikromacierzy DNA



## badanie roztworów za pomocą mikromacierzy DNA



## wynik badania



Dla każdego doświadczenia:

- ▶  $m$  atrybutów ( $m \approx 10^5$ )
  - ▶ wartości:
    - ▶ binarne: występuje, nie występuje
    - ▶ rzeczywiste: intensywność  $< 0, 1 >$
- 
- ▶ zwykle przeprowadza się  $n \approx 100$  doświadczeń
  - ▶ mamy macierz  $n \times m$ , gdzie  $n \ll m$  elementów  $x_{ij}$
  - ▶ problem znalezienia atrybutów istotnych

# normalizacja danych

- ▶ usuwanie atrybutów, które mają tę samą wartość dla wszystkich przykładów
- ▶ obliczenie średniej i odchylenia standardowego

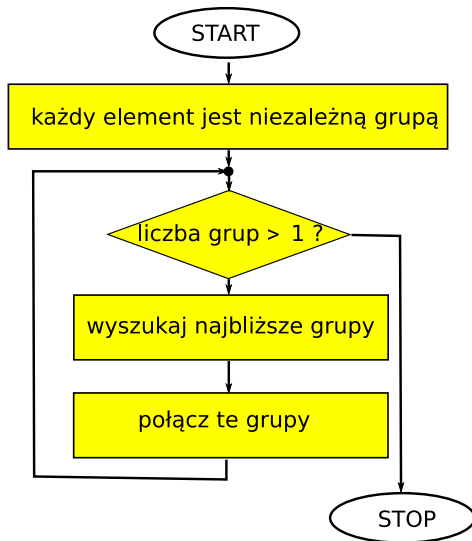
$$\mu_j = \frac{1}{n} \sum_{i=0}^n x_{ij} \text{ średnia}$$

$$\sigma_j = \sqrt{\frac{1}{n} \sum_{i=0}^n (x_{ij} - \mu_j)^2} \text{ odchylenie standardowe}$$

- ▶ przekształcenie danych, atrybut  $j$  ma  $\mu = 0$ ,  $\sigma = 1$

$$z_{ij} = \frac{x_{ij} - \mu_j}{\sigma_j}$$

## algorytm grupowania hierarchicznego



- ▶ wymaga definicji odległości pomiędzy elementami
- ▶ wymaga definicji odległości pomiędzy grupami

## definicja odległości

$x, y$  oznaczają punkty ze zbiorów danych, każdy punkt ma  $m$  cech (atrybutów)  $x = \langle x_1, x_2, \dots, x_m \rangle$

- ▶ odległość Euklidesowa

$$d_{xy} = \sqrt{\sum_{i=1}^m (x_i - y_i)^2}$$

- ▶ odległość Manhattan

$$d_{xy} = \sum_{i=1}^m |x_i - y_i|$$

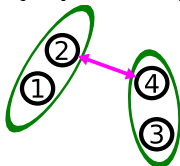
- ▶ korelacja

$$d_{xy} = \sum_{i=1}^m x_i y_i$$



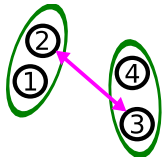
## odległości grup

pojedyncze wiązanie (najmniejsza odległość)



$$d_s(X, Y) = \min_{x \in X, y \in Y} d_{xy}$$

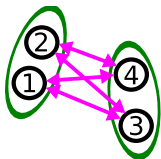
pełne wiązanie (największa odległość)



$$d_f(X, Y) = \max_{x \in X, y \in Y} d_{xy}$$

## odległości grup (2)

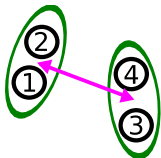
średnia odległość



$$d_a(X, Y) = \frac{1}{|X||Y|} \sum_{x \in X, y \in Y} d_{xy}$$

gdzie  $|X|$  to ilość elementów w  $X$

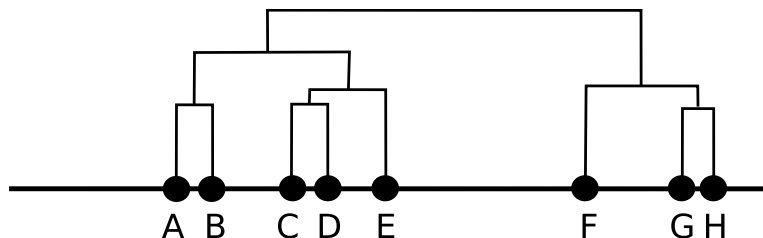
odległość pomiędzy środkami



$$d_c(X, Y) = d_{x'y'}$$

gdzie  $x'$  to średnia elementów  $x \in X$

## algorytm grupowania hierarchicznego (przykład)



- ▶ gdy dwie grupy:  $\{ \{A, B, C, D, E\}, \{F, G, H\} \}$
- ▶ gdy trzy grupy:  $\{ \{A, B\}, \{C, D, E\}, \{F, G, H\} \}$
- ▶ gdy cztery grupy:  $\{ \{A, B\}, \{C, D, E\}, \{F\}, \{G, H\} \}$
- ▶ itd.

## algorytm grupowania hierarchicznego (przykład 2)

Tabela odległości pomiędzy obiektami A, B, C, D:

	A	B	C	D
A	0	2	6	11
B		0	4	9
C			0	5
D				0

Dla dwóch grup:

- ▶ jeżeli odległość między grupami to pojedyncze wiązanie (minimalna odległość pomiędzy elementami)?  
 $\{A,B,C\}\{D\}$
- ▶ jeżeli odległość między grupami to pełne wiązanie (maksymalna odległość pomiędzy elementami)?  
 $\{A,B\}\{C,D\}$

## algorytm grupowania hierarchicznego - złożoność

- ▶ liczba przykładów:  $n$ , liczba atrybutów:  $m$
- ▶ liczba kroków algorytmu  $n - 1$
- ▶ każda iteracja:
  - ▶  $n(n - 1)/2$  razy oblicza odległość
  - ▶ koszt obliczenia odległości  $O(m)$
  - ▶ koszt iteracji  $O(n^2m)$

$$O(n^3m)$$

## algorytm K-średnich (grupowanie niehierarchiczne)

zakłada podział na K  
grup

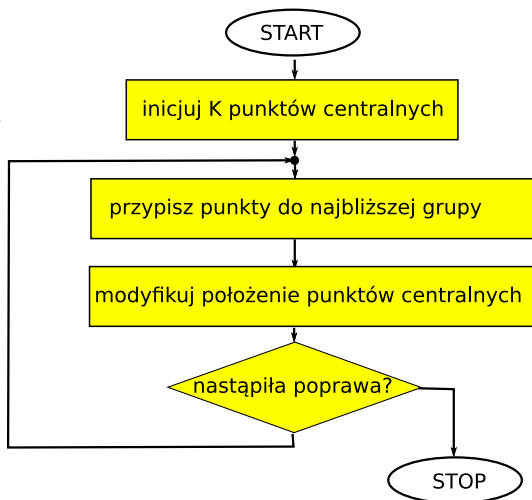
- ▶ odległość

$x = \langle x_1, x_2, \dots, x_m \rangle$   
od  $c$

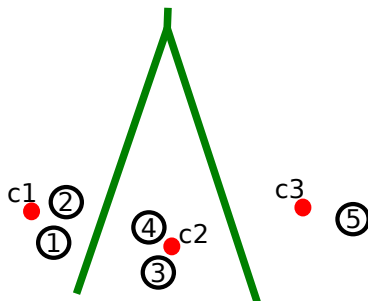
$$d_{xc} = \sum_{i=1}^m (x_i - c_i)^2$$

- ▶ funkcja błędu  
(którą  
minimalizujemy)

$$E = \sum_c \sum_{x \in c} d_{xc}$$



## algorytm K-średnich (2)

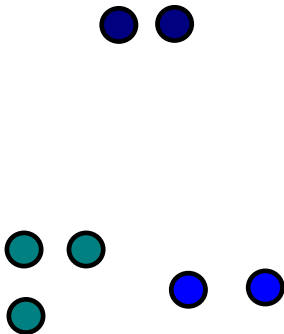


Algorytm optymalizacyjny:

- ▶ inicjacja: losowa
- ▶ funkcja celu:

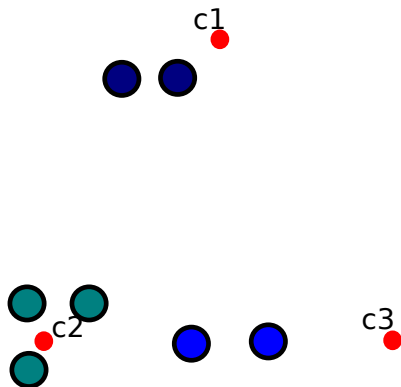
$$\arg \min_{C_1, C_2, \dots, C_k} \sum_{c=1}^k \sum_{x_i \in C_c} \sum_{j=1}^m (x_{ij} - c_{cj})^2$$

## algorytm K-średnich (przykład)



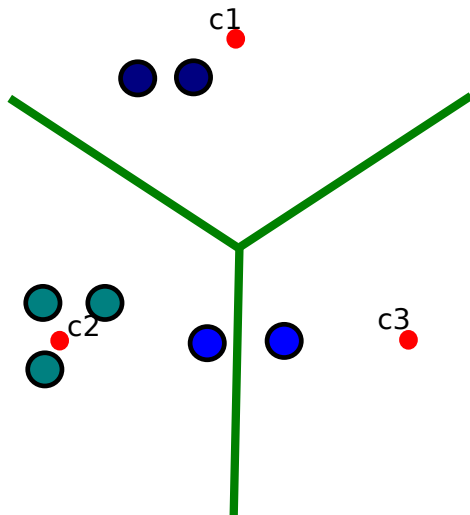


## algorytm K-średnich (przykład)



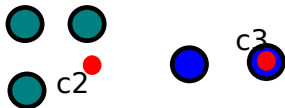
- poszukiwane 3 grupy
- inicjacja punktów centralnych

## algorytm K-średnich (przykład)



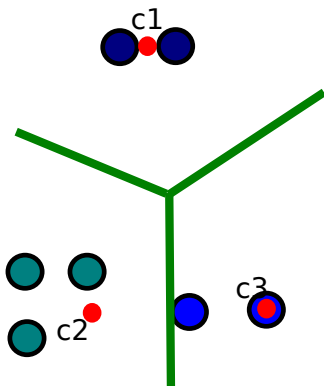
obliczenie przykładów  
należących do danej  
grupy

## algorytm K-średnich (przykład)



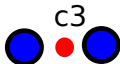
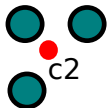
aktualizacja położenia  
punktów centralnych

## algorytm K-średnich (przykład)



obliczenie przykładów  
należących do danej  
grupy

## algorytm K-średnich (przykład)



aktualizacja  
centralnych punktów

## algorytm K-średnich - złożoność

- ▶ liczba przykładów:  $n$ , liczba atrybutów  $m$ , liczba kroków algorytmu  $p \approx n$
- ▶ każda iteracja:
  - ▶ koszt obliczenia odległości  $O(m)$
  - ▶ koszt znalezienia grupy: dla  $n$  punktów  $k$  razy oblicza odległość od punktu centralnego, więc  $O(knm)$
  - ▶ koszt obliczenia nowego punktu środkowego, dla  $n$  punktów oblicza średnią  $O(nm)$
  - ▶ iteracja  $O(knm + nm) = O(knm)$

$$O(kn^2m)$$

algorytm znacznie wydajniejszy niż grupowanie hierarchiczne  $O(n^3m)$ , ponieważ  $k \ll n$ , ale problemy z właściwą inicjacją

# algorytm analizy składowych głównych (PCA)

- ▶ pozwala na redukcję wymiaru problemu
- ▶ transformuje (liniowo) przestrzeń atrybutów dostarczając nowych współrzędnych

Dane wejściowe:

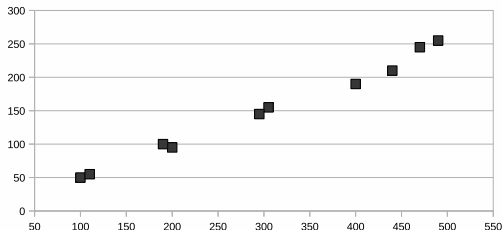
pomiar	atrybut			
	1	2	...	$m$
1	$x_{11}$	$x_{12}$	...	$x_{1m}$
2	$x_{21}$	$x_{22}$	...	$x_{2m}$
...	...	...	...	...
$n$	$x_{n1}$	$x_{n2}$	...	$x_{nm}$

- ▶ obliczenie  $\mu_j$  oraz  $\sigma_j$
- ▶ normalizacja danych

$$z_{ij} = \frac{x_{ij} - \mu_j}{\sigma_j}$$

## algorytm PCA (2)

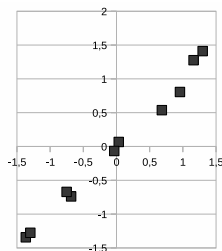
dane wejściowe (10 przykładów, 2 atrybuty):



$$\begin{aligned}\mu_1 &= 300 \\ \sigma_1 &= 146.4 \\ \mu_2 &= 150 \\ \sigma_2 &= 74.4\end{aligned}$$

normalizacja:

$$z_{i1} = \frac{x_{i1} - \mu_1}{\sigma_1}$$
$$z_{i2} = \frac{x_{i2} - \mu_2}{\sigma_2}$$





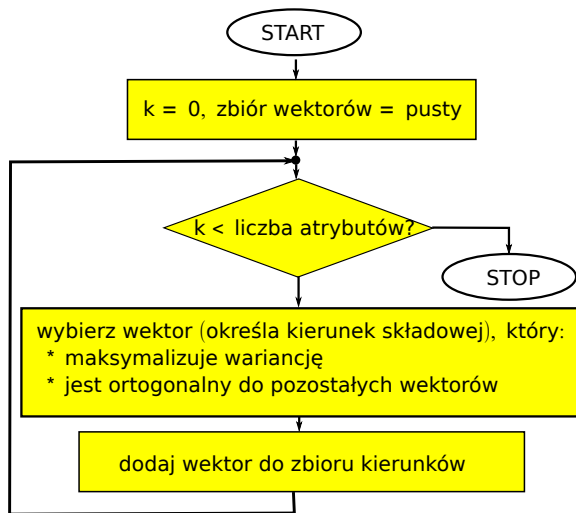
## algorytm PCA (3)

po normalizacji  
wszystkie atrybuty  
mają parametry:

- ▶  $\mu = 0$
- ▶  $\sigma = 1$

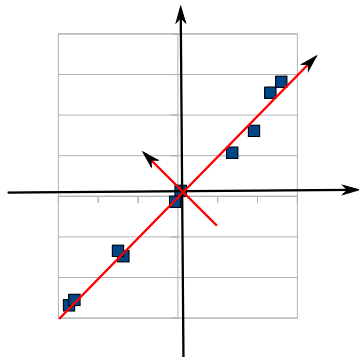
chcemy znaleźć  
nowy układ współ-  
rzędnych

- ▶ zakładamy  
tylko  
przekształcenia  
liniowe (obroty,  
odbicia)



## algorytm PCA (4)

Kierunki składowych dla rozpatrywanego przykładu:



Założenia algorytmu PCA:

- ▶ rozpatrywane przekształcenia liniowe
- ▶ maksymalizowana jest wariancja (wariancja - klasyczna miara zróżnicowania)
- ▶ nowe kierunki składowych są ortogonalne

## algorytm PCA (5) - kowariancja

$$\mathbf{Z} = \begin{bmatrix} z_{11} & z_{12} & \dots & z_{1m} \\ z_{21} & z_{22} & \dots & z_{2m} \\ \dots & \dots & \dots & \dots \\ z_{n1} & z_{n2} & \dots & z_{nm} \end{bmatrix} \quad \mathbf{a}_i = \begin{bmatrix} z_{1i} \\ z_{2i} \\ \dots \\ z_{ni} \end{bmatrix} \quad \mathbf{a}_j = \begin{bmatrix} z_{1j} \\ z_{2j} \\ \dots \\ z_{nj} \end{bmatrix}$$

dane po normalizacji:  $\mu_{a_i} = \frac{1}{n} \sum_{k=0}^n z_{ki} = 0, \sigma_{a_i}^2 = \frac{1}{n} \sum_{k=0}^n z_{ki}^2 = 1$

Kowariancja - miarą liniowej zależności pomiędzy  $a_i$  i  $a_j$

$$\sigma_{a_i a_j} = \frac{1}{n} \sum_{k=0}^n z_{ik} z_{jk} = \frac{1}{n} \mathbf{a}_i \mathbf{a}_j^T \text{ gdzie } \mathbf{a}_j^T = [z_{1j} \quad z_{2j} \quad \dots \quad z_{nj}]$$

$$-1 \leq \sigma_{a_i a_j} \leq 1$$

## algorytm PCA (6) - macierz kowariancji

$$\mathbf{C}_Z = \frac{1}{n} \mathbf{Z} \mathbf{Z}^T = \begin{bmatrix} \sigma_1^2 & \sigma_{12} & \dots & \sigma_{1m} \\ \sigma_{21} & \sigma_2^2 & \dots & \sigma_{2m} \\ \dots & \dots & \dots & \dots \\ \sigma_{n1} & \sigma_{n2} & \dots & \sigma_m^2 \end{bmatrix} = \begin{bmatrix} 1 & \sigma_{12} & \dots & \sigma_{1m} \\ \sigma_{21} & 1 & \dots & \sigma_{2m} \\ \dots & \dots & \dots & \dots \\ \sigma_{n1} & \sigma_{n2} & \dots & 1 \end{bmatrix}$$

Ponieważ  $\sigma_{ij} = \sigma_{ji}$  macierz  $\mathbf{C}_Z$  jest symetryczna

- ▶ sumaryczna wariancja

$$\sum_{j=0}^m \sigma_j = m$$

- ▶ po zmianie (rotacja, odbicie) układu współrzędnych sumaryczna wariancja nie zmienia się

## algorytm PCA (7) - przekształcenie układu współrzędnych

$\mathbf{Y} = \mathbf{PZ}$ , gdzie  $\mathbf{P}$  jest macierzą przekształcenia

, macierz  $\mathbf{P}$  zawiera wektory, które są kierunkami składowych

$$\mathbf{P} = [\mathbf{p}_1, \mathbf{p}_2, \dots, \mathbf{p}_m]$$

Wykorzystując algorytmy algebry liniowej przekształca się przestrzeń, aby macierz kowariancji była diagonalna

$$\mathbf{C}_Y = \begin{bmatrix} \lambda_1 & 0 & \dots & 0 \\ 0 & \lambda_2 & \dots & 0 \\ \dots & \dots & \dots & \dots \\ 0 & 0 & \dots & \lambda_m \end{bmatrix}$$

algorytm PCA (8) - jak znaleźć przekształcenie  $\mathbf{P}$ 

$$\mathbf{C}_Y = \frac{1}{n} \mathbf{Y} \mathbf{Y}^T = \frac{1}{n} (\mathbf{P} \mathbf{Z}) (\mathbf{P} \mathbf{Z})^T = \frac{1}{n} \mathbf{P} \mathbf{Z} \mathbf{Z}^T \mathbf{P}^T = \mathbf{P} \mathbf{C}_Z \mathbf{P}^T$$

dla macierzy symetrycznej  $\mathbf{A}$ , macierzy jej wektorów własnych  $\mathbf{E}$  zachodzi zależność:

$$\mathbf{A} = \mathbf{E} \mathbf{D} \mathbf{E}^T, \text{ gdzie } \mathbf{D} \text{ jest macierzą diagonalną}$$

więc:  $\mathbf{P}$  jest macierzą wektorów własnych macierzy  $\mathbf{C}_Z$

## algorytm PCA (9) - przykład

Dla rozpatrywanego przykładu:

$$\mathbf{C}_z = \begin{bmatrix} 1 & 0.994 \\ 0.994 & 1 \end{bmatrix}$$

po rozkładzie na wartości własne i wektory własne:

$$\begin{bmatrix} 1 & 0.994 \\ 0.994 & 1 \end{bmatrix} = \begin{bmatrix} \frac{\sqrt{2}}{2} & \frac{\sqrt{2}}{2} \\ \frac{\sqrt{2}}{2} & -\frac{\sqrt{2}}{2} \end{bmatrix} \begin{bmatrix} 1.994 & 0 \\ 0 & 0.006 \end{bmatrix} \begin{bmatrix} \frac{\sqrt{2}}{2} & \frac{\sqrt{2}}{2} \\ \frac{\sqrt{2}}{2} & -\frac{\sqrt{2}}{2} \end{bmatrix}$$

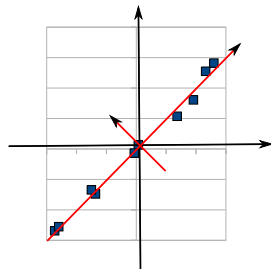
Nowe kierunki

$$\mathbf{p}_1 = \begin{bmatrix} \frac{\sqrt{2}}{2} \\ \frac{\sqrt{2}}{2} \end{bmatrix}, \mathbf{p}_2 = \begin{bmatrix} \frac{\sqrt{2}}{2} \\ -\frac{\sqrt{2}}{2} \end{bmatrix}, \lambda_1 = 1.994, \lambda_2 = 0.006$$

## algorytm PCA (10) - przykład

$$\lambda_1 = 1.994, \lambda_2 = 0.006$$

- Po zamianie współrzędnych i eliminacji drugiego wymiaru będziemy mieli 99.7% wariancji dla pierwszego wymiaru (utracimy tylko 0.3% wariancji)
- W ten sposób można wybrać tylko istotne atrybuty





## algorytm PCA (11) - podsumowanie

- ▶ algorytm nie posiada parametrów
- ▶ liniowo przekształca przestrzeń atrybutów
- ▶ wykorzystuje macierz korelacji, eliminuje kowariancję czyli liniowe zależności pomiędzy atrybutami
- ▶ pozwala na redukcję wymiarów, opuszczanie atrybutów o mniejszym znaczeniu (kompresja informacji)

Popularne kryterium dobierania ilości składowych (kryterium Kaisera-Guttmana)

należy zachować składowe, dla których wartości własne są większe od 1, czyli wkład składowej większy, niż wkład pojedynczej zmiennej

# Czułość i selektywność

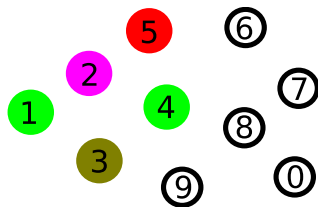
macierz pomyłek

		stan	
		plus	minus
wynik testu	dodatni	prawdziwie dodatni	fałszywie dodatni
	ujemny	fałszywie ujemny	prawdziwie ujemny

$$\text{czułość} = \frac{\text{prawdziwie dodatni}}{\text{prawdziwie dodatni} + \text{fałszywie ujemny}}$$

$$\text{selektywność} = \frac{\text{prawdziwie dodatni}}{\text{prawdziwie dodatni} + \text{fałszywie dodatni}}$$

## Czułość i selektywność (2)



TP = 4	FP = 2
FN = 1	TN = 3

czułość = 0.8

selektywność = 0.67

Test na kolor:

nr	stan	wynik testu
0	NIE	NIE
1	TAK	NIE
2	TAK	TAK
3	TAK	TAK
4	TAK	TAK
5	TAK	TAK
6	NIE	TAK
7	NIE	TAK
8	NIE	NIE
9	NIE	NIE

# *Biologia syntetyczna*

# Biologia syntetyczna

Biologia syntetyczna – dziedzina inżynierii, projektowanie i realizacja sztucznych systemów biologicznych.

- ▶ chemiczna synteza DNA o zadanej sekwencji, 1970 r.
- ▶ synteza sztucznego genu, 1972 r.<sup>1</sup>
- ▶ synteza sztucznego genomu
  - ▶ wirus, 7500 bp, 2002 r.<sup>2</sup>
  - ▶ bakteria, 1 Mbp, 2010 r.<sup>3</sup>

Narzędzia informatyczne stosowane do:

- ▶ symulacje reakcji i procesów biologicznych
- ▶ przewidywania struktur cząsteczek
- ▶ optymalizacji warunków reakcji

<sup>1</sup> Khorra, Total synthesis of the structural gene for an alanine transfer ribonucleic acid from yeast

<sup>2</sup> Cello ..., Chemical synthesis of poliovirus cDNA: generation of infectious virus in the absence of natural template

<sup>3</sup> Gibson ..., Creation of a bacterial cell controlled by a chemically synthesized genome

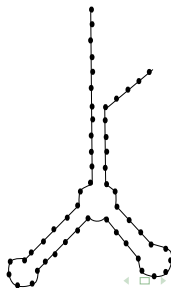
# Struktura pierwszorzędowa, drugorzędowa i trzeciorzędowa

- ▶ struktura pierwszorzędowa - sekwencja symboli
- ▶ badanie struktur drugorzędowych DNA, RNA i białek (uwzględnienie oddziaływania nukleotydów lub aminokwasów)
- ▶ badanie struktur trzeciorzędowych (struktura atomów w przestrzeni 3D)

struktura pierwszorzędowa:

```
GCCGAUUA  
AAACACAG  
AUCACCUG  
UGUCUUUU  
UCCCAUA  
UAUGGCG  
UCGGAG...
```

struktura drugorzędowa:

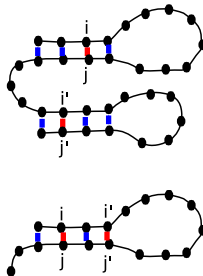


# Struktura drugorzędowa - notacje

Sekwencja RNA  $S = x_1 x_2 \dots x_n$

Struktura drugorzędowa: zbiór par  $(i, j)$ , gdzie  $1 \leq i < j \leq n$ , takich, że:

- ▶  $j - i > 3$  (pętle zewnętrzne nie mogą być krótsze niż 4 nukleotydy)
- ▶ jeżeli  $(i, j)$  oraz  $(i', j')$  są dwoma parami zasad to:
  - ▶  $i < j < i' < j'$   
( $i, j$ ) poprzedza ( $i', j'$ )
  - ▶  $i' < j' < i < j$   
( $i', j'$ ) poprzedza ( $i, j$ )
  - ▶  $i < i' < j' < j$   
( $i, j$ ) obejmuje ( $i', j'$ )
  - ▶  $i' < i < j < j'$   
( $i', j'$ ) obejmuje ( $i, j$ )



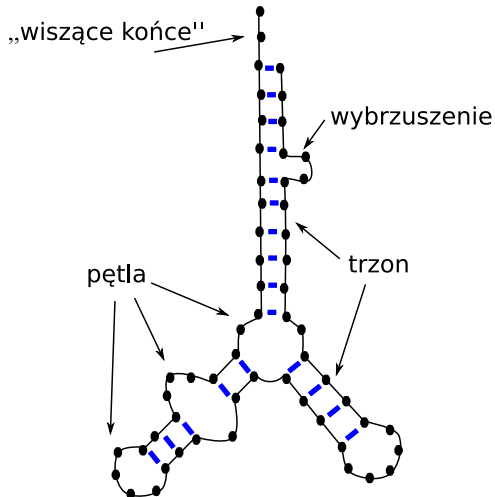
# Rodzaje połączeń wewnątrz struktur drugorzędowych

trzon (ang. (stem))

pętle:

- ▶ wybrzuszenie  
(ang. *bulge loop*)
- ▶ pętla wewnętrzna (ang.  
*interior loop*)
- ▶ pętla zewnętrzna (ang.  
*hairpin loop*)
- ▶ pętla wieloramienna  
(ang. *multi-branched  
loop*)

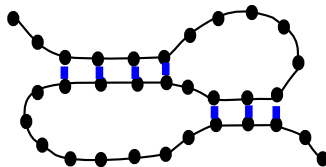
wiszące końce



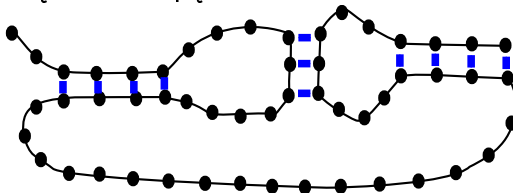


## Struktury trzeciorzędowe - przykłady

► pseudo-węzły



► wiązanie dla pętli



# Algoritmy oparte o minimalizację energii swobodnej

- ▶ cząsteczka przyjmuje strukturę o najniższej energii
- ▶ energia w zależności od siły wiązania dla poszczególnych par
- ▶ energia dla struktury: suma dla poszczególnych par

$$E(S) = \sum_{i,j \in S} e(x_i, x_j)$$

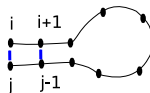
Przykładowa macierz energii:

$e(i,j)$	A	C	G	U
A	0	0	0	2
C	0	0	3	0
G	0	3	0	1
U	2	0	1	0

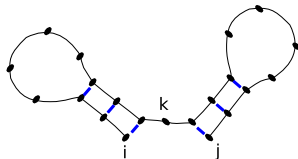
# Algorytm Nussinov

- ▶ inicjacja - pętle zewnętrzne nie mogą być krótsze niż 4 nukleotydy

- ▶ tworzenie pary

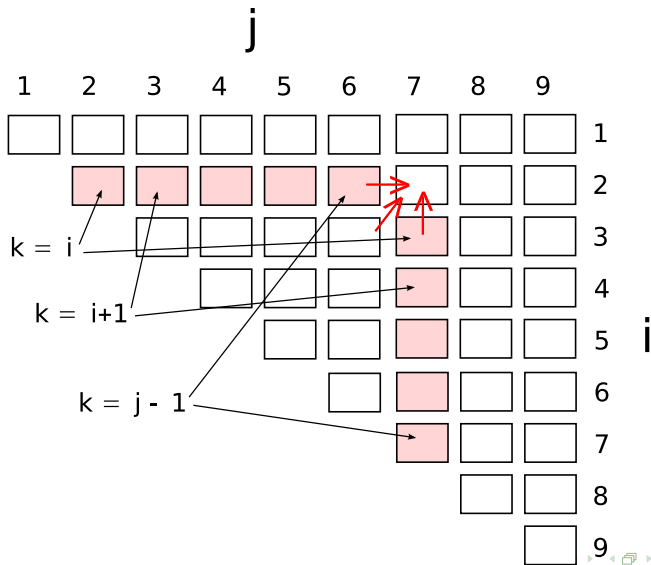


- ▶ podział sekwencji



$$F(i, j) = \max \begin{cases} 0 & j - i \leq 3 \\ F(i + 1, j - 1) + e(x_i, x_j) & \text{połączenie} \\ F(i + 1, j) & x_i \text{ bez pary} \\ F(i, j - 1) & x_j \text{ bez pary} \\ \max_{k: i \leq k < j} F(i, k) + F(k + 1, j) & \text{podział} \end{cases}$$

# Algorytm Nussinov - przykład



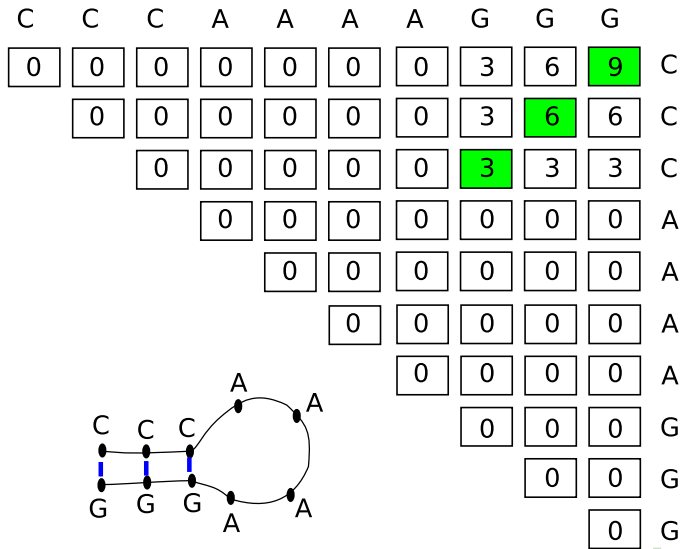
# Algorytm Nussinov - przykład

C	C	C	A	A	A	A	G	G	G	
0	0	0								C
	0	0	0							C
		0	0	0						C
			0	0	0					A
				0	0	0				A
					0	0	0			A
						0	0	0		G
							0	0	0	G
								0		G

# Algorytm Nussinov - przykład

C	C	C	A	A	A	A	G	G	G	
0	0	0	0	0	0	0	3	6	9	C
	0	0	0	0	0	0	3	6	6	C
		0	0	0	0	0	3	3	3	C
			0	0	0	0	0	0	0	A
				0	0	0	0	0	0	A
					0	0	0	0	0	A
						0	0	0	0	A
							0	0	0	G
								0	0	G
									0	G

# Algorytm Nussinov - przykład



# Algorytm Nussinov - przykład (2)

CAAGGAAC

	A	C	G	T
A	0	0	0	2
C	0	0	3	0
G	0	3	0	0
T	2	0	0	0

$$F(i, j) = \max \begin{cases} 0 & j - i \leq 2 \\ F(i + 1, j - 1) + e(x_i, x_j) \\ F(i + 1, j) \\ F(i, j - 1) \\ \max_{k: i \leq k < j} F(i, k) + F(k + 1, j) \end{cases}$$

C	A	A	G	G	A	A	C	
1	2	3	4	5	6	7	8	
0	0	0						1 C
	0	0	0					2 A
		0	0					3 A
			0	0				4 G
				0	0	0		5 G
					0	0	0	6 A
						0	0	7 A
							0	8 C

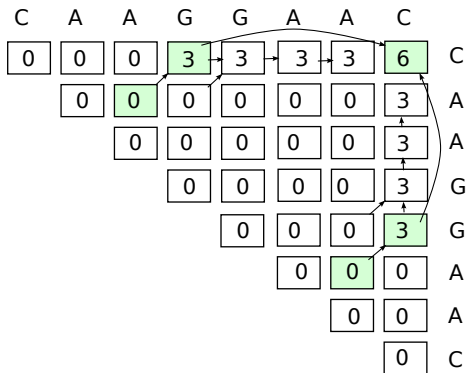


# Algorytm Nussinov - przykład (2)

CAAGGAAC

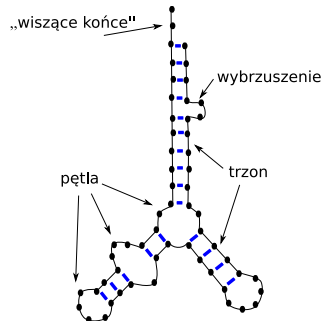
	A	C	G	T
A	0	0	0	2
C	0	0	3	0
G	0	3	0	0
T	2	0	0	0

$$F(i, j) = \max \begin{cases} 0 & j - i \leq 2 \\ F(i + 1, j - 1) + e(x_i, x_j) \\ F(i + 1, j) \\ F(i, j - 1) \\ \max_{k: i \leq k < j} F(i, k) + F(k + 1, j) \end{cases}$$

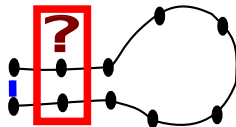


# Algorytm Zukera

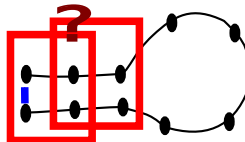
- ▶ elementy stabilizujące
  - ▶ trzonki
- ▶ elementy destabilizujące:
  - ▶ pętle zewnętrzne (spinki)
  - ▶ pętle wewnętrzne (w tym wybrzuszenia)
  - ▶ pętle wieloramienne



analizie podlegają pary par nukleotydów (a nie pojedyncze nukleotydy)



Nussinov



Zuker

## Algorytm Zukera (2)

- ▶ wykorzystuje programowanie dynamiczne
- ▶ dostarczane są energie (wynikające z pomiarów) dla:
  - ▶ szpilek  $e_H$
  - ▶ połączonych par  $e_S$
  - ▶ pętli  $e_L$
- ▶ oblicza macierz  $V$  - elementy  $(i, j)$  tworzą parę, oraz  $W$  - element  $(i, j)$  jest częścią pętli wieloramiennej

$$W(i, j) = \max \begin{cases} W(i + 1, j) \\ W(i, j - 1) \\ \max_{k: i \leq k < j} W(i, k) + W(k + 1, j) \\ V(i, j) \end{cases}$$

## Algorytm Zukera (3)

$$V(i, j) = \max \left\{ \begin{array}{l} e_H(i, j) \\ \text{ostatnie wiązanie przed szpilką} \\ \\ e_S(i, i+1, j, j-1) + V(i+1, j-1) \\ \text{trzonek (połączenie)} \\ \\ \max_{i < i' < j' < j: i' - i + j' - j \geq 2} e_L(i, i', j, j') + V(i', j') \\ \text{pętla wewnętrzna} \end{array} \right.$$

# Algorytmy minimalizacji energii swobodnej - podsumowanie

- ▶ Algorytm Nussinov
  - ▶ bada oddziaływania między pojedynczymi nukleotydami
  - ▶ uwzględnia ograniczenia dla 'szpilek'
- ▶ Algorytm Zukera
  - ▶ bada oddziaływania między dwiema parami nukleotydów
  - ▶ inaczej obliczana energia dla pętli, trzonka, itd.

## Problemy

- ▶ duża średnia liczba sub-optimalnych struktur, nie pozwala uwzględniać wszystkich możliwości
- ▶ nie uwzględniane oddziaływania trzeciorzędowe (pseudo-węzły, itp.)
- ▶ łańcuchy RNA niekoniecznie muszą przyjmować strukturę o minimalnej energii, konformacja może być wymuszona kinetyką tworzenia struktury drugorzędowej

*Dziękuję*